

تحلیل رفتار کمانشی نانولوله‌های کربنی با استفاده از مکانیک مولکولی ساختاری

مهناز ذاکری^۱، امید افضل نژاد^۲

۱ استادیار دانشکده مهندسی هواپیما، دانشگاه صنعتی خواجه نصیرالدین طوسی، تهران، ir.m.zakeri@kntu.ac.ir

۲ دانشجوی کارشناسی ارشد، دانشکده مهندسی هواپیما، دانشگاه صنعتی خواجه نصیرالدین طوسی، تهران

تاریخ دریافت: ۱۳۹۳/۰۴/۲۱

تاریخ پذیرش: ۱۳۹۳/۱۱/۲۱

چکیده

بروز پدیده کمانش در شرایط متنوع بارگذاری به ناپایداری سازه می‌انجامد. اساساً بار بحرانی کمانش به عواملی چون هندسه، اندازه، نوع بار و شرایط مرزی بستگی دارد. هدف از نگارش این مقاله، مطالعه اثر ساختار بر رفتار کمانشی نانولوله‌های کربنی است. برای اینکه اثر زاویه کایرال مستقل از اثر اندازه بررسی شود، از هندسه‌هایی با ابعاد برابر و کایرالیته متفاوت استفاده شده است. برای شبیه‌سازی پیوندهای شیمیایی بین اتم‌های کربن، انرژی پیوند کوالانت کربن - کربن بهروش مکانیک مولکولی با المان تیر مدل می‌شود. همچنین مختصات گره‌ها به وسیله الگوریتمی ساده تعیین می‌گردد. سپس اثر کایرالیته بر بار کمانش محوری و پیچشی برای انواع ساختارها، با استفاده از روش اجزای محدود تحلیل می‌شود. نتایج مقاله نشان می‌دهد که زاویه کایرال اثر قابل توجهی بر بار کمانش محوری ندارد. اما در بارگذاری پیچشی، ساختار نانولوله تأثیر قابل توجهی بر پایداری آن دارد؛ به طوری که در شرایط کمانش پیچشی، ساختارهای کایرال ممکن است ضعیفتر یا قوی‌تر از ساختارهای متقاضی عمل کنند.

واژگان کلیدی

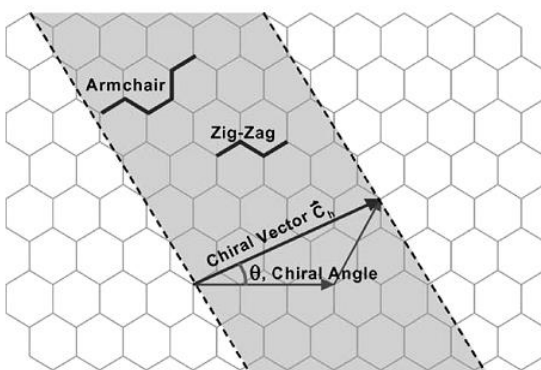
روش محیط پیوسته معادل، کایرالیته، کمانش، پیچش ساعتگرد و پاد ساعتگرد

۱. مقدمه

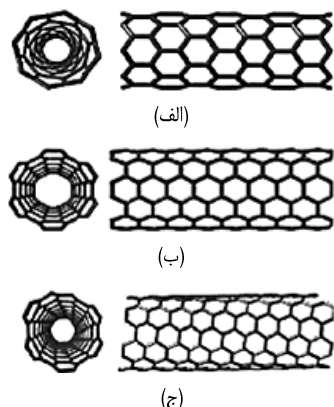
اختصاص داده است. در نانوکامپوزیت‌ها غالباً نانولوله‌های کربنی نقش الیاف را دارند. این نانولوله‌ها ساختارهای متنوعی دارند و سبب ایجاد خواص مکانیکی متفاوتی می‌گردند. نانولوله‌ها می‌توانند به وسیله پیچیدن یک ورق مستطیل شکل از یک لایه گرافیت مدل شوند تا در نهایت یک لوله استوانه‌ای شکل توانند توانی حاصل شود. از جمله کاربردهای نانولوله‌های کربنی می‌توان به طراحی آسانسور فضایی^۳، کابل‌های بسیار قوی و نیز استفاده در

امروزه فناوری نانو دانش روز دنیا محسوب می‌شود؛ دانشی که در حوزه مهندسی و طراحی سازه نیز گسترش چشمگیری یافته است. نانولوله‌های کربنی^۱، که در سال ۱۹۹۱ توسط سومیو ایجیما^۲ معرفی شدند [۱]، به دلیل ویژگی‌های منحصر به‌فردی چون خواص مکانیکی، حرارتی و الکتریکی ویژه مورد توجه قرار گرفتند. در حوزه دانش و فناوری هواپیما نیز شناخت رفتار نانوکامپوزیت‌ها و کاربرد آنها بخش عمده‌ای از توجه پژوهشگران را به‌خود

هم به دلیل محدودیت در مدلسازی رفتار خمی، برای مطالعه رفتار نانولوله‌های کربنی مناسب نمی‌باشند. اما به کمک المان‌های فنر و تیر می‌توان رفتار پیوندهای کربنی را به خوبی تقریب زد. برای مدلسازی تغییر شکل پیوندهای کربنی با استفاده از المان‌های فنر باید به طور همزمان از دو نوع فنر پیچشی و کششی استفاده کرد [۲۳]، که این در نانولوله‌های بزرگ سبب افزایش تعداد المان‌ها و هزینه محاسبات می‌شود. بنابراین با توجه به محدودیت‌های ذکرشده، المان‌های تیر جهت مدلسازی تغییر شکل نانولوله‌های کربنی مناسب‌ترین گزینه است.



شکل ۱. نمایش بردار و زاویه کایرال در یک صفحه گرافن [۲۱]



شکل ۲. نمونه‌هایی از ساختار (الف) زیگزاگ، (ب) آرمچیر، (ج) کایرال

در سطح مولکولی، برهمکنش بین اتم‌ها براساس انرژی‌های پتانسیل مولکولی توصیف می‌شود. برای مطالعه شبکه مولکولی تحت تغییر شکل‌های کوچک، انرژی پتانسیل پیوندی بین اتم‌ها را می‌توان با توابع پتانسیل غیرخطی یا توابع خطی هارمونیک تخمین زد. با توجه به کوچکبودن تغییر شکل‌ها، در این مقاله از توابع پتانسیل هارمونیک برای انرژی پتانسیل بین اتم‌ها استفاده می‌شود که براساس روابط ۴ تا ۶ بیان می‌گردد [۲۴]:

می‌توان صفحات را در جهتی خاص پیچید. بدین منظور دو اتم گرافیت انتخاب می‌شوند، یکی به عنوان مبدأ در نظر گرفته می‌شود، سپس صفحه پیچیده می‌شود تا اتم دوم روی اتم اول منطبق گردد. برداری که از اتم مبدأ به جهت اتم دوم اشاره می‌کند، بردار کایرال نام دارد و به صورت زیر تعریف می‌شود:

$$\vec{C}_h = n\vec{a}_1 + m\vec{a}_2 \quad (1)$$

طول این بردار برابر محیط نانولوله و محور نانولوله عمود بر بردار کایرال است. بیان فرایند لوله‌شدن از طریق بردارهای یکه \vec{a}_1 و \vec{a}_2 است. مقادیر n و m اعداد صحیحی هستند که نوع ساختار نانولوله را مشخص می‌کند. سایر اندازه‌های نانولوله مثل محیط، قطر و زاویه کایرال را می‌توان به وسیله این دو مقدار محاسبه کرد. قطر و زاویه کایرال نانولوله ($0 \leq \theta \leq 30^\circ$) به صورت روابط ۲ و ۳ محاسبه می‌شود:

$$D = \frac{a_{c-c} \sqrt{3(n^2 + m^2 + nm)}}{\pi} \quad (2)$$

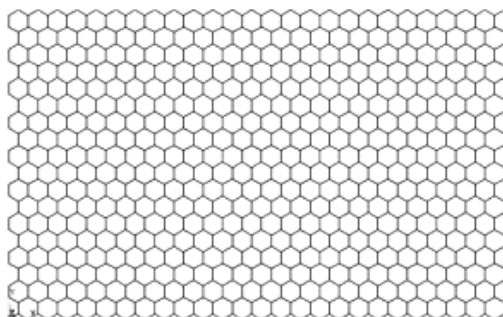
$$\cos \theta = \frac{2n + m}{2\sqrt{n^2 + m^2 + nm}} \quad (3)$$

به طوری که در رابطه ۲، a_{c-c} طول پیوند کربن-کربن است که برابر با 142.0 نانومتر می‌باشد [۲۰]. نانولوله‌هایی با ساختار (n,n) با زاویه کایرال 30° درجه، آرمچیر و با ساختار $(0,0)$ با زاویه کایرال صفر درجه، زیگزاگ نامیده می‌شوند. نانولوله‌هایی با ساختارهای غیرمنظم (n,m) که $n > m$ و زاویه کایرال $< 30^\circ$ را کایرال می‌نامند. در شکل ۱ صفحه گرافن، بردار و زاویه کایرال و در شکل ۲ نمونه‌هایی از انواع ساختار نانولوله‌ها شامل زیگزاگ، آرمچیر و کایرال نمایش داده شده است.

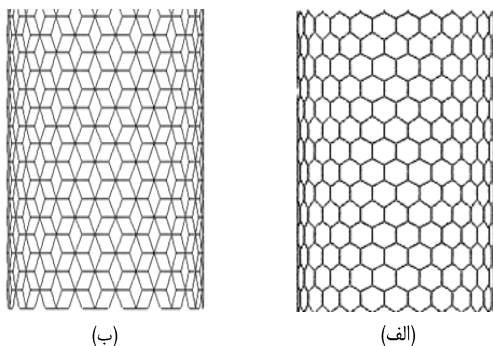
۳. مبانی مکانیک مولکولی و شبیه‌سازی اجزای محدود

روش مدلسازی محیط پیوسته معادل یکی از پیشرفت‌ترین روش‌های محیط پیوسته است که از ترکیب روش‌های مکانیک مولکولی و اجزای محدود ایجاد شده است. این روش عمدتاً روش‌های مدلسازی نانولوله با استفاده از المان‌های پوسته [۲۲]، خرپا، فنر و تیر را شامل می‌شود که برای تعیین خواص و رفتار استاتیکی و دینامیکی نانولوله‌ها قابل استفاده‌اند. المان‌های پوسته و خرپا در مدلسازی نانولوله‌های کربنی چندان دقت بالایی ندارند؛ زیرا با توجه به گسیسته‌بودن هندسه نانولوله المان پوسته نمی‌تواند تقریب خوبی از رفتار نانولوله باشد و از طرفی المان‌های خرپایی

نانولوله‌ها اندکی بیش از 20 A در نظر گرفته شده است. برای بررسی اثر زاویه کایرال بر کمانش محوری نanolوله‌ها، تمام گره‌های یک طرف نanololle را بسته و در انتهای دیگر آن، بر گره مرجعی که تعریف شده است بار فشاری 1 نانونیوتن وارد می‌شود. مرجعی که تعریف شده است بار فشاری 1 نانونیوتن وارد می‌شود. بارگذاری بر گره مرجع سبب می‌شود بار به صورت یکنواخت بر تمام گره‌ها اعمال شود و از ایجاد تمرکز تنفس و تغییر شکل‌های موضعی به عنوان تمرکز بار روی تک‌تک گره‌ها جلوگیری کند. این گره به کمک المان TARGE170 ایجاد شده است. شکل 6 نمونه‌ای از مدل‌های نanololle زیگزاگ و آرمچیر ایجاد شده در محیط انسیس را نمایش می‌دهد. برای بررسی کمانش پیچشی نanololle‌ها نیز از ساختارهای موجود در جدول 1 استفاده می‌شود و هنگام بارگذاری بر گره مرجع به جای بار فشاری، گشتاور پیچشی به اندازه $1/10$ نانونیوتن - نانومتر اعمال می‌گردد.



شکل ۵ نمونه‌ای از صفحات گرافن برای مدلسازی نanololle



شکل ۶ مدل اجزای محدود ساختارهای (الف) آرمچیر، (ب) زیگزاگ

۵. بحث و بررسی نتایج

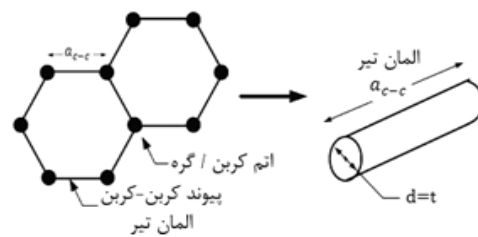
در این بخش، نتایج حاصل برای کمانش نanololle‌ها ارائه و بررسی می‌شود. نخست اثر زاویه کایرال بر کمانش محوری و سپس تأثیر آن بر کمانش پیچشی بررسی می‌گردد. شکل‌های 7 تا 9 چهار مدل اول کمانش نanololle آرمچیر را برای نسبت‌های منظری $3/8$ ، $8/12$ و $16/20$ نشان می‌دهد. همان‌طور که ملاحظه می‌شود، اولین مود کمانشی

$$d = 4 \sqrt{\frac{k_\theta}{k_r}} = 0.14662 \text{ nm} \quad (21)$$

$$E = \frac{L k_r^2}{4\pi k_o} = 5.488 \text{ TPa} \quad (22)$$

$$G = \frac{k_r^2 k_\phi L}{8\pi k_\theta^2} = 0.871 \text{ TPa} \quad (23)$$

در این مقاله برای مدلسازی پیوند میان اتم‌های کربن از المان تیر خطی BEAM4 استفاده شده است. این المان دو گره، الاستیک و با قابلیت تحلیل بارهای محوری، پیچشی و خمشی است و در هر گره شش درجه آزادی دارد [۲۶].



شکل ۴. مدلسازی پیوند‌های کربن‌الانسی بین اتم‌های کربن با المان تیر در روش محدود [۲۶]

۶. مدلسازی و تحلیل رفتار کمانشی نanololle‌های کربنی

مدلسازی نanololle‌های کربنی طی دو مرحله انجام می‌شود. ابتدا مدل هندسی شامل موقعیت گره‌ها (atom‌های کربن) و المان‌های متصل به آنها در بسته نرم‌افزاری متلب ^۵ ایجاد و نتایج آن در محیط نرم‌افزار انسیس فراخوانی می‌شود و صفحه گرافن (شکل 5) مدل می‌گردد. سپس رول کردن این صفحه در مختصات استوانه‌ای، بارگذاری و شرایط مرزی اعمال می‌شود. جدول 1 مشخصات نanololle‌های مورد بررسی در این مقاله را نشان می‌دهد. تمام ساختارها به گونه‌ای انتخاب شده‌اند که طول و قطر یکسانی داشته باشند تا در مرحله تحلیل، آثار طول و قطر حذف شده و فقط تأثیر زاویه کایرال مشخص گردد. در این بررسی از نanololle‌های کوتاه، متوسط و بلند با نسبت‌های منظری $3/8$ ، $8/12$ و $16/20$ استفاده شده است. برای افزایش نسبت منظری نanololle‌ها، با انتخاب ساختارهایی که قطر تقریباً یکسان دارند، قطر نanololle‌ها ثابت نگه داشته شده و فقط طول آنها افزایش یافته است. همچنین براساس نتایج پژوهش‌های پیشین، از قطر 20 A به بعد اثر قطر بر رفتار مکانیکی نanololle‌های مدل شده قابل صرفنظر است [۲۷]، لذا در این مقاله، قطر

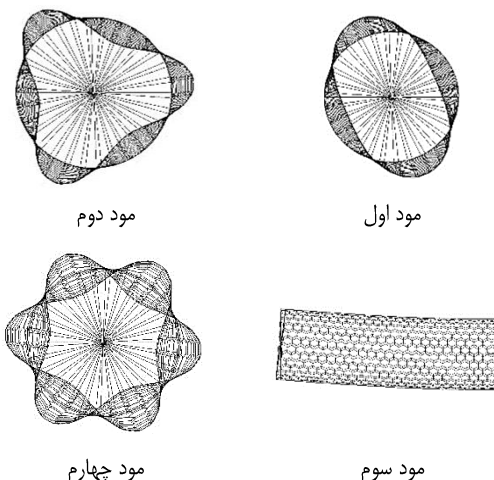
در واقع، نتایج تحلیل‌ها برای تمام ساختارها نشان می‌دهد که در کمانش محوری، ناپایداری در قالب دو نوع مود کمانشی اتفاق می‌افتد و نوع اولین مود کمانشی به نسبت منظری نانولله بستگی دارد. بدین‌صورت که برای نانولله‌های بلند و متوسط، کمانش کلی و برای نانولله‌های کوتاه کمانش موضعی اتفاق می‌افتد.

جدول ۱. مشخصات هندسی نانولله‌های مورد بررسی

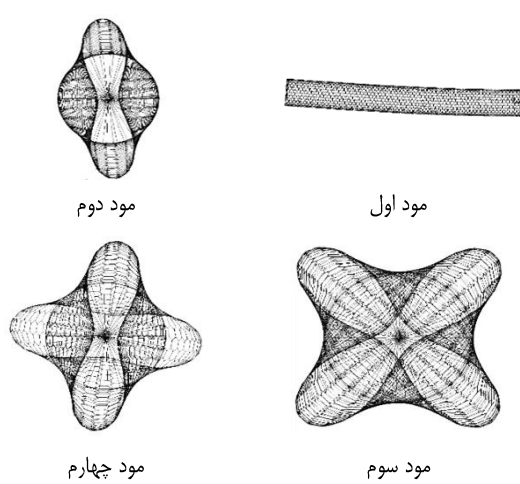
زاویه کایرال (درجه)	نسبت منظری	قطر (انگستروم)	ساختار نانولله
۰	۸/۰۰	۲۰/۳۵	(۲۶.۰)
۱/۸۷	۷/۸۵	۲۰/۷۵	(۲۶.۱)
۳/۸۱	۷/۹۹	۲۰/۴۰	(۲۵.۲)
۵/۵۹	۷/۸۱	۲۰/۸۴	(۲۵.۳)
۷/۵۸	۷/۹۴	۲۰/۵۳	(۲۴.۴)
۹/۶۳	۸/۰۴	۲۰/۲۴	(۲۳.۵)
۱۱/۳۰	۷/۸۵	۲۰/۲۴	(۲۳.۶)
۱۲/۳۷	۷/۹۴	۲۰/۵۲	(۲۲.۷)
۱۵/۴۹	۸/۰۲	۲۰/۳۱	(۲۱.۸)
۱۷/۶۴	۸/۰۹	۲۰/۱۲	(۲۰.۹)
۱۹/۱۰	۷/۸۶	۲۰/۷۱	(۲۰.۱۰)
۲۱/۲۴	۷/۹۲	۲۰/۵۷	(۱۹.۱۱)
۲۳/۴۱	۷/۹۶	۲۰/۴۷	(۱۸.۱۲)
۲۵/۵۹	۷/۹۹	۲۰/۴۰	(۱۷.۱۳)
۲۷/۷۹	۸/۰۰	۲۰/۳۵	(۱۶.۱۴)
۳۰	۸/۰۱	۲۰/۳۴	(۱۵.۱۵)

شکل‌های ۱۰ و ۱۱ نیز تغییرات نیروی بحرانی مربوط به هر یک از مودهای کلی و موضعی را برای نسبت‌های منظری مختلف AR^۶ با تغییر کایرالیتۀ ساختارها نشان می‌دهند. از نمودارهای ۱۰ و ۱۱ مشاهده می‌شود که اثر کایرالیتۀ بر بار کمانش محوری نانولله‌های کربنی ناچیز و قابل صرف‌نظر است. به‌طوری‌که با تغییر زاویه کایرال از ۰ تا ۳۰ درجه، بار بحرانی دچار تغییرات قابل توجهی نمی‌شود. از طرفی با دقت در شکل ۱۰ مشاهده می‌شود که با کاهش نسبت منظری (کاهش طول) مقدار بار بحرانی از

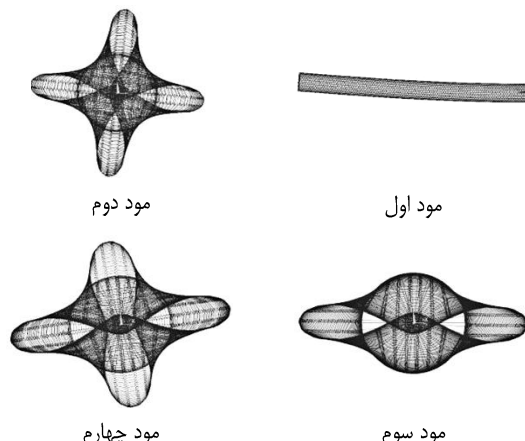
که برای نسبت‌های منظری ۱۲ و ۸ اتفاق افتاده است، از نوع اوپلری و برای نسبت منظری ۳ از نوع موضعی است.



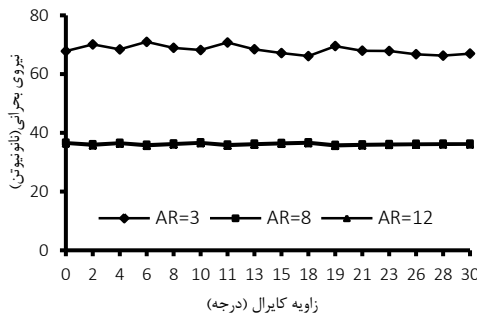
شکل ۷. چهار مود اول کمانش محوری نانولله آرمچیر با نسبت منظری ۳



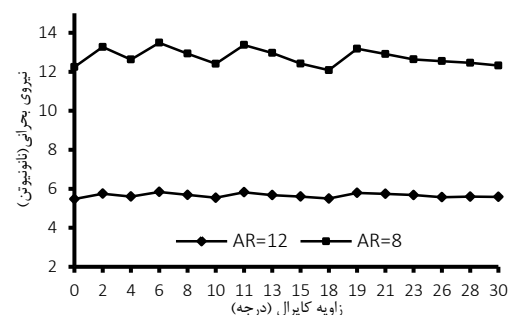
شکل ۸. چهار مود اول کمانش محوری نانولله آرمچیر با نسبت منظری ۸



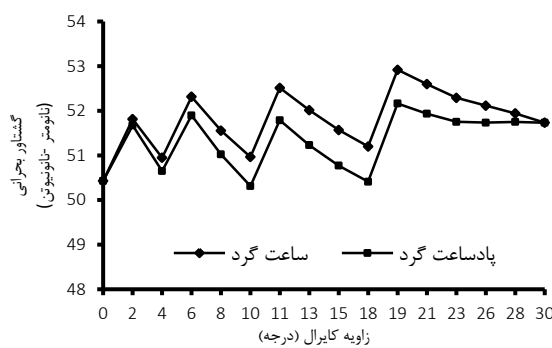
شکل ۹. چهار مود اول کمانش محوری نانولله آرمچیر با نسبت منظری ۱۲



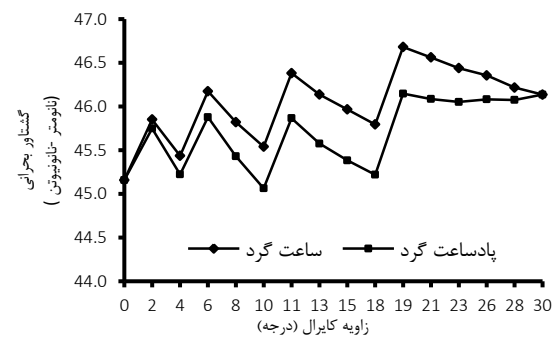
شکل ۱۱. تغییرات بار بحرانی با زاویه کایرال در اولین مود کمانش موضعی



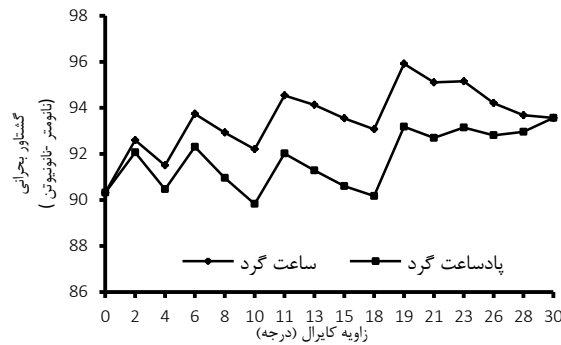
شکل ۱۰. تغییرات بار بحرانی با زاویه کایرال در اولین مود کمانش کلی



شکل ۱۳. تغییرات گشتاور بحرانی با زاویه کایرال (نسبت منظری ۸)



شکل ۱۲. تغییرات گشتاور بحرانی با زاویه کایرال (نسبت منظری ۱۲)



شکل ۱۴. تغییرات گشتاور بحرانی با زاویه کایرال (نسبت منظری ۳)

منظري پايان، آثار کاياليتي محسوس تر می شود. برای نسبت های منظري پايان، مود کمانش موضعی و برای نسبت های منظري بالا مود کمانش کلی اولين مود ناپايداري کمانشی است که روی خواهد داد. همچنين بيشترین مقدار گشتاور پيچشي بحرانی به ازاي زاویه کایرال $19/11$ درجه است که نشان دهنده پايداري بيشتر آن در بين انواع ساختارهاست. در حالت بارگذاري پادساعتگرد، کمترین مقدار گشتاور پيچشي بحرانی مربوط به نانولوله با زاویه کایرال $9/64$ درجه است.

۶. نتیجه گيري

در اين مقاله با استفاده از روش اجزاي محدود رفتار کمانش محوري و پيچشي نانولوله های کربنی بررسی شد. برای شبیه سازی نانولوله ها، المان تير خطی به عنوان جايگزین برای پيوندهای کربن - کربن به کار رفت. در بررسی آثار زاویه کایرال بر رفتار کمانش محوري و پيچشي نانولوله ها نتایجی بدین قرار حاصل شد. در کمانش محوري، پارامترهای طول و قطر بيشترین تأثير را بر بار بحرانی دارند و تغییرات کاياليتي اثر قبل توجهی بر نانولوله ها در نسبت های منظري بالا ندارد. اما در نسبت های

- [1] Iijima, S. Helical microtubules of graphitic carbon, *nature*, Vol. 354, No. 6348, 1991, pp. 56-58.
- [2] Asadi, E., M. FarhadiNia. Vibrational study of laminated composite plates reinforced by carbon nanotubes, *Modares Mechanical Engineering*, Vol. 14, No. 3, 2014, pp. 7-16.
- [3] O'Connell, M., *Carbon nanotubes: properties and applications*, United States of America: CRC Press Taylor & Francis Group, 2006.
- [4] Shima, H. "Buckling of carbon nanotubes: a state of the art review." *Carbon Nanotubes: Synthesis, Characterization and Applications*, Vol. 5, 2011, pp. 47-84.
- [5] Han Q., G. Lu. "Torsional buckling of a double-walled carbon nanotube embedded in an elastic medium." *European Journal of Mechanics-A/Solids*, Vol. 22, No. 6, 2003, pp. 875-883.
- [6] Wang, X., H. Yang, K. Dong. "Torsional buckling of multi-walled carbon nanotubes." *Materials Science and Engineering: A*, Vol. 404, No. 1, 2005, pp. 314-322.
- [7] Chang, T., G. Li, X. Guo. "Elastic axial buckling of carbon nanotubes via a molecular mechanics model." *Carbon*, Vol. 43, No. 2, 2005, pp. 287-294.
- [8] Cao, G., X. Chen. "The effects of chirality and boundary conditions on the mechanical properties of single-walled carbon nanotubes." *International Journal of Solids and Structures*, Vol. 44, No. 17, 2007, pp. 5447-5465.
- [9] Zhang, Y., V. Tan, C. Wang. "Effect of strain rate on the buckling behavior of single-and double-walled carbon nanotubes." *Carbon*, Vol. 45, No. 3, 2007, pp. 514-523.
- [10] Xiaohu, Y., H. Qiang. "Investigation of axially compressed buckling of a multi-walled carbon nanotube under temperature field." *Composites science and technology*, Vol. 67, No. 1, 2007, pp. 125-134.
- [11] Sun, C., K. Liu. "Combined torsional buckling of multi-walled carbon nanotubes coupling with axial loading and radial pressures." *International journal of solids and structures*, Vol. 45, No. 7, 2008, pp. 2128-2139.
- [12] Yao, X., Q. Han, H. Xin. "Bending buckling behaviors of single-and multi-walled carbon nanotubes." *Computational Materials Science*, Vol. 43, No. 4, 2008, pp. 579-590.
- [13] Ghorbanpour Arani, A., R. Rahmani, A. Arefmanesh. "Elastic buckling analysis of single-walled carbon nanotube under combined loading by using the ANSYS software." *Physica E: Low-dimensional Systems and Nanostructures*, Vol. 40, No. 7, 2008, pp. 2390-2395.
- [14] Kang, Z., M. Li, Q. Tang. "Buckling behavior of carbon nanotube-based intramolecular junctions under compression: Molecular dynamics simulation and finite element analysis." *Computational Materials Science*, Vol. 50, No. 1, 2010, pp. 253-259.
- [15] Ansari, R., S. Rouhi. "Atomistic finite element model for axial buckling of single-walled carbon nanotubes." *Physica E: Low-dimensional Systems and Nanostructures*, Vol. 43, No. 1, 2010, pp. 58-69.
- [16] Saavedra Flores, E., S. Adhikari, M. Friswell, F. Scarpa. "Hyperelastic axial buckling of single wall carbon nanotubes." *Physica E: Low-dimensional Systems and Nanostructures*, Vol. 44, No. 2, 2011, pp. 525-529.
- [17] Ansari, R., S. Sahmani, H. Rouhi. "Axial buckling analysis of single-walled carbon nanotubes in thermal environments via the Rayleigh-Ritz technique." *Computational Materials Science*, Vol. 50, No. 10, 2011, pp. 3050-3055.
- [18] Ghavamian, A., A. Öchsner. "Numerical investigation on the influence of defects on the buckling behavior of single-and multi-walled carbon nanotubes." *Physica E: Low-dimensional Systems and Nanostructures*. Vol. 46, 2012, pp. 241-249.
- [19] Şimşek, M., H. Yurtcu. "Analytical solutions for bending and buckling of functionally graded nanobeams based on the nonlocal Timoshenko beam theory." *Composite Structures*, Vol. 97, 2013, pp. 378-386.
- [20] Tserpes, K., P. Papanikos. "Finite element modeling of single-walled carbon nanotubes." *Composites Part B: Engineering*, Vol. 36, No. 5, 2005, pp. 468-477.

- [21] Lu, X., Z. Hu. "Mechanical property evaluation of single-walled carbon nanotubes by finite element modeling." *Composites Part B: Engineering*, Vol. 43, No. 4, 2012, pp. 1902-1913.
- [22] Pantano, A., D. M Parks, M. C. Boyce. "Mechanics of deformation of single-and multi-wall carbon nanotubes." *Journal of the Mechanics and Physics of Solids*, Vol. 52, No. 4, 2004, pp. 789-821.
- [23] Meo, M., M. Rossi. "Prediction of Young's modulus of single wall carbon nanotubes by molecular-mechanics based finite element modelling." *Composites Science and Technology*, Vol. 66, No. 11, 2006, pp. 1597-1605.
- [24] Wernik, J., S. Meguid. "Multiscale modeling of the nonlinear response of nano-reinforced polymers." *Acta Mechanica*, Vol. 217, No. 1-2, 2011, pp. 1-16.
- [25] Li, C., T.-W. Chou. "A structural mechanics approach for the analysis of carbon nanotubes." *International Journal of Solids and Structures*, Vol. 40, No. 10, 2003, pp. 2487-2499.
- [26] Ansys Software Help, 12.0 Release, SAS IP, Inc, 2009.
- [27] Zakeri, M., O. Basiri. "Estimation of shear and bending moduli for carbon nanotubes with chiral structures." *Modares Mechanical Engineering*, Vol. 13, No. 14, 2014, pp. 56-67.
- [28] Chen, L., Q. Zhao, H. Zhang. "Axial buckling behavior of single-walled carbon nanotubes with finite element modeling", in Proceeding of, IEEE, NEMS, 2010, pp. 276-279.

بی‌نوشت

-
1. carbon nanotubes
 2. Sumio Iijima (1939 –)
 3. space elevator
 4. ANSYS ®
 5. MATLAB ®
 6. aspect ratio